

Quantification des cordes bosoniques

Plusieurs méthodes :

- quantification dans la jauge du cône de lumière manifestement unitaire, spectre assez à déterminer interactions difficiles car invariance de la voute non manifeste
- Quantification canonique "à l'ancienne" invariance de la voute manifeste
 - mais espace de Hilbert non défini positif
 - contraintes imposées à la "Gauge-Bleue"
 - efficace pour les calculs jusqu'à 1 boucle
- Quantification par intégrale fonctionnelle la plus pertinente, en combinaison avec les techniques de théorie conforme et la symétrie BRST Valable en principe dans des espaces courbes

1. Quantification dans la jauge du cône de lumière
- On a vu que la jauge conforme $d^2 = -d\bar{z}^i d\bar{z}^j = -dz^i dz^j + ds^2$ laisse la possibilité de changement de coordonnées
- $$\xi^{+'} = f(\xi^+), \quad \xi^{-'} = g(\xi^-)$$
- s'écrit
- $$2\tau' = f(\tau + \sigma) + g(\tau - \sigma)$$
- $$2\bar{\sigma}' = f(\tau + \bar{\sigma}) - g(\tau - \bar{\sigma})$$
- En particulier, $\partial_+\partial_- \tau' = 0$
- On peut en fait identifier τ' à toute solution de $\partial_+\partial_- = 0$ la condition δ' est alors déterminée à une translation près.

Puisque $\partial_+\partial_- X^+ = 0$ $X^\pm = X^0 \pm X^4$
 on peut choisir $X^+ = x^+ + \ell_s p^+$
 c'est-à-dire éliminer les oscillations $\alpha_n^+, \bar{\alpha}_n^+$ les contraintes de Virasoro

$$\begin{aligned} T_{\pm\pm} &= \frac{1}{2} \partial_\pm X^i \partial_\pm X_i = \frac{1}{2} \left(-\partial_\pm X^+ \partial_\pm X^- + \partial_\pm X^i \partial_\pm X^i \right) \\ &= -\frac{1}{4} \ell_s^2 p^+ \partial_\pm X^- + \frac{1}{2} \partial_\pm X^i \partial_\pm X^i \equiv 0 \end{aligned}$$

permettant d'éliminer les oscillations $\alpha_n^-, \bar{\alpha}_n^-$:

Multiplications par $\partial T e^{im(\tau+\sigma)}$ et intégrions :

$$L_m^\pm = \frac{T \ell_s^2 p^+}{2} \int_0^{2\pi} \partial_- X^- e^{im(\tau-\sigma)} d\sigma$$

$$= \frac{1}{2\pi\ell_s^2} \cdot \frac{\ell_s^2 p^+}{2} \cdot i\omega \cdot \frac{\ell_s}{\sqrt{2}} \alpha_m^- = \frac{\ell_s p^+}{2\sqrt{2}} \alpha_m^-$$

$$\text{soit } \alpha_m^- = \frac{2\sqrt{2}}{\ell_s p^+} \left[\frac{1}{2} \sum_{k \in 2\mathbb{Z}} \alpha_{m-k}^+ \alpha_k^+ \right]$$

De la même manière,

$$\bar{\alpha}_m^- = \frac{2\sqrt{2}}{\ell_s p^+} \left[\frac{1}{2} \sum_{k \in 2\mathbb{Z}} \bar{\alpha}_{m-k}^+ \bar{\alpha}_k^+ \right]$$

* Les expressions sont valables clairement. Au niveau quantique,

$$\{, \}_{PB} \rightarrow -i [,]$$

$$\text{soit } [\alpha_m^i, \alpha_j^k] = i\eta^{ik}$$

$$[\alpha_m^i, \alpha_j^k] = [\bar{\alpha}_m^i, \bar{\alpha}_j^k] = m \delta_{mn} \delta^{ij}$$

le calcul précédent donne en fait l'ordre quantique,

$$\frac{1}{2} \sum_{k \in 2\mathbb{Z}} \alpha_{m-k}^i \alpha_k^i \rightarrow \frac{1}{4} \sum_{k \in 2\mathbb{Z}} (\alpha_{m-k}^i \alpha_k^i + \alpha_k^i \alpha_{m-k}^i)$$

En adoptant l'ordre normal, on a donc

$$\bar{\alpha}_m = \frac{2\sqrt{2}}{l_S p^+} \left[\frac{1}{2} \sum_{k \in \mathbb{Z}} : \alpha_{m-k}^i \alpha_k^i : + \frac{D-2}{2} \left(\sum_{k=1}^{\infty} k \right) \cdot \delta_{m,0} \right]$$

la régularisation par fonction ζ donne $\sum_{k=1}^{\infty} k = \zeta(-1) = -\frac{1}{12}$

En particulier, pour $m=0$ on obtient la condition de couche de marge:

$$\frac{l_S}{\sqrt{2}} p^- = \frac{2\sqrt{2}}{l_S p^+} \left[\frac{l_S^2}{4} (p^i)^2 - \frac{D-2}{24} + \sum_{k=1}^{\infty} \alpha_{-k}^i \alpha_k^i \right]$$

Soit, en multipliant par $\sqrt{2} l_S p^+$,

$$l_S^2 (p^+ p^- - p_i^2) = 4 \left(\sum_{k=1}^{\infty} \alpha_{-k}^i \alpha_k^i - \frac{D-2}{24} \right)$$

On obtient donc

$$l_S^2 m^2 = 4 \left(\sum_{k=1}^{\infty} \alpha_{-k}^i \alpha_k^i - \frac{D-2}{24} \right)$$

De même, on obtient du côté des left-moves

$$l_S^2 m^2 = 4 \left(\sum_{k=1}^{\infty} \alpha_{-k}^i \bar{\alpha}_k^i - \frac{D-2}{24} \right)$$

Définissons $N^\perp = \sum_{k=1}^{\infty} \alpha_{-k}^i \alpha_k^i$ le niveau total d'excitations transverses droites et gauches

$$\bar{N}^\perp = \sum_{k=1}^{\infty} \bar{\alpha}_{-k}^i \alpha_k^i$$

le spectre est donc donné par

$$l_S^2 m^2 = 4(N^\perp - a)$$

sous la condition de "level matching"

$$N^\perp = \bar{N}^\perp$$

$a = \frac{D-2}{24}$ est appelé ℓ^1 "intercept": c'est l'énergie Casimir

des D-2 bosons transverses sur le cylindre.

* La procédure ci-dessous n'est pas manifestement invariante de Lorentz. Il faut donc contrôler que le spectre des états massifs s'organise en multiplets du groupe d'isotropie $SO(D-1)$.

L'état fondamental $|p\rangle$ a une marge $l_S^2 m^2 = -4a$.

Le premier état excité $\alpha_{-1}^i \bar{\alpha}_{-1}^i |p\rangle$ se décompose en trois représentations de $SO(D-2)$, de marge $l_S^2 m^2 = 4(4-a)$

$$\alpha_{-1}^{(i)} \bar{\alpha}_{-1}^{(j)} |p\rangle \oplus (\alpha_{-1}^{(i)} \bar{\alpha}_{-1}^{(j)}) - \frac{1}{D-2} \alpha_1^k \bar{\alpha}_1^k |p\rangle$$

$$\oplus \frac{1}{D-2} \delta_{ij} \alpha_1^k \bar{\alpha}_1^k |p\rangle$$

Ces trois nups ne peuvent être combinés en une nup de $SO(D-1)$: il est donc nécessaire que $m=0$ soit $\boxed{a=1}$

On voit donc que la condition bosonique n'est cohérente avec l'invariance de Lorentz qu'en dimension 26 !!

L'état fondamental a donc $l_S^2 m^2 = -4 < 0$: cela signale une instabilité.

Le premier niveau excité décrit 3 particules de marge nulle :

$B_{ij} = -B_{ji}$: tenseur antisymétrique de Kalb Ramond

$R_{ij} = R_{ji}$, $R_i^i = 0$: LE GRAVITON !

ϕ : champ scalaire appelé DILATON

On verra plus loin que la théorie effective décritant un muto est du type

$$S_{eff} = \int d^D x g [(\partial_\mu T)^2 + 4T^2 + (\partial_\mu \phi)^2 + R + (\partial_\mu B_{\mu\nu})^2] e^{-2\phi}$$

* De fait, on vérifie que l'algèbre de Poincaré n'est réalisée que si $a=1$ et $D=26$

(5)

Idée : Sous une transformation de Lorentz,

$$\delta X^\mu(\sigma, \tau) = \omega^\mu \nu X^\nu(\sigma, \tau) + \xi^\alpha(\tau, \sigma) \partial_\alpha X^\nu(\tau, \sigma)$$

où ξ^α est un difféomorphisme infinitésimal qui "nomme" la condition de jauge $X^+ = x^+ + p^+ \tau$.

On introduit aussi une transformation de Weyl Λ de maniére à préserver la jauge conforme, $\delta \xi^\mu + \partial^\mu \xi^\nu = 2\Lambda \eta^{\mu\nu}$.

la composante $\mu=+$ ci-dessus donne

$$\omega_+(\sigma^+ + p^+ \tau) = \omega_+ \nu X^\nu(\sigma, \tau) + \lambda \partial_\nu p^+ \xi^0$$

$$\text{Soit } \xi^0 = \frac{\omega_+}{\lambda} (\sigma^+ + p^+ \tau - X^+(\sigma, \tau))$$

$$\xi^+ = \int_0^\sigma d\sigma' \frac{\partial \xi^0}{\partial \tau}$$

la variation $\delta X^\mu(\sigma, \tau)$ contient donc des termes quadratiques en X^i , source potentielle de divergences.

la suite dans Green - Schwarz - Witten vol I section 2.3.

* Cordes fermées non orientées :

les cordes fermées que nous avons considérées jusqu'à présent étaient orientées : les modes "left moving" et "right-moving" étaient distinguables.

La symétrie $\sigma \rightarrow 2\pi - \sigma$, $\tau \rightarrow -\tau$ échange ces modes.

Elle est représentée par un opérateur unitaire Ω dans l'espace de Fock, tel que

$$\begin{aligned} \Omega \alpha_R^\mu \Omega^{-1} &= \bar{\alpha}_R^\mu \\ \Omega \bar{\alpha}_L^\mu \Omega^{-1} &= \alpha_L^\mu \\ \Omega^2 &= 1 \end{aligned}$$

On peut montrer que la branche $|p^+\rangle$ doit être invariant:

$$\Omega |p^+\rangle = |p^+\rangle$$

la carte fermée non-orientée est définie en ne gardant que les états invariants sous Ω , $\Omega |p_{\text{phys}}\rangle = |p_{\text{phys}}\rangle$.

On voit que le premier niveau excité ne contient plus que la graviton et la dilaton ; le champ de Kalb - Ramond est éliminé.

* Cordes ouvertes

On considère ici des conditions "NN" (Neumann aux 2 bouts) les mêmes considérations que plus haut avec $p^+ \rightarrow 2p^+$ montrent que le spectre de la carte ouverte est donné par

$$J_S^2 m^2 = (N^\perp - a) \left\{ N^\perp = \sum_{R=1}^{\infty} \alpha_R^\perp \alpha_R^i \right\}$$

Il en résulte que la constance impose $a=1$, $D=26$.

$$a = \frac{D-2}{24}$$

(5)

(5)"

le niveau fondamental est toujours barylique, de masse $\hbar^2 m^2 = -1$ (2 fois moins que celui de la onde fermée).

le premier niveau excité $\alpha_{-1}^i |p\rangle$ est un boson transverse de masse nulle ; la théorie effective n'est autre que Maxwell :

$$S_{\text{eff}}^{\text{ouv.}} = \int d^4x e^{-ip} [(\partial_\mu)^2 + t^2 - \frac{1}{4} (\partial_\mu A_\nu - \partial_\nu A_\mu)^2]$$

Δ Deux cordes ouvertes peuvent toujours se combiner en une corde fermée

Remarques :

* Il est possible d'attacher un indice de "coulour", à chaque extrémité de la corde ouverte, $i, j = 1..N$: indice de Chan-Paton

On obtient ainsi N^2 copies du spectre ci-dessus :

$$|p^i; i, j\rangle$$

Si on demande que les seules interactions possibles sont du type

\rightarrow \rightarrow , on voit que les interactions doivent

invoquer une symétrie de jauge $U(N)$:

Pour cela, changeons de base : $|p^i; a\rangle = \sum_{i,j} R_{ij}^a |p^i; i, j\rangle$

où R_{ij}^a , $a = 1..N^2$ sont les générateurs de l'algèbre de lui de $U(N)$:

$$[R^a, R^b] = f^{abc} R^c$$

les amplitudes sont ainsi proportionnelles à des traces de produits de R .

$$Tr(R^a R^b R^c)$$

$$\text{invariantes sous } \lambda \rightarrow U \lambda U^{-1}, U^\dagger U = 1$$



On remarque que la théorie effective est alors une théorie de Yang-Mills, analogue à celle qui décrit les interactions fondamentales !

* Comme pour les cordes fermées, il est possible de définir une notion non-orientée des cordes ouvertes :

Pour des cordes NN, l'action de Σ : $\bar{\sigma} \rightarrow \pi - \sigma$ dans l'espace de Fock est

$$\Sigma \propto \Sigma^t \Sigma^{-1} = (-1)^k \propto_k^t$$

En l'absence de facteurs de Chan-Paton, le premier niveau excité est donc éliminé : plus de boson de jauge !

Mais si $N > 1$, il y a de nouvelles possibilités :

$$\text{Supposons } \Sigma |p_i; i, j\rangle = \varepsilon (\gamma_\Sigma)_{ii'} |p_j; j, i'\rangle (\gamma_\Sigma^{-1})_{ii'}$$

où γ_Σ est une matrice unitaire $N \times N$

la condition $\Sigma^2 = 1$ impose

$$\gamma_\Sigma = \sum_l \gamma_\Sigma^l, \quad \varepsilon^l \varepsilon^l = 1$$

Comme $\det(\gamma_\Sigma) = \det(\gamma_\Sigma^t)$, $\varepsilon_l^N = 1$.

$$\text{les états du 1er niveau } A_{i,a}^i = \sum_j R_{ij}^a \alpha_{-1}^j |p_j; i, j\rangle$$

sont invariantes pari $\lambda = -\varepsilon \gamma_\Sigma \lambda^T \gamma_\Sigma^{-1}$ (a)

On en déduit $\varepsilon^2 = 1$, $\varepsilon_l^2 = 1$.

Enfin, il est nécessaire que si λ_1, λ_2 vérifient (a), $[\lambda_1, \lambda_2]$ aussi cela fixe $\varepsilon = 1$. Il reste donc 2 possibilités :

$$\varepsilon_l = 1: \quad \gamma_\Sigma \text{ est diagonalisable} \rightsquigarrow \gamma_\Sigma = \begin{pmatrix} e^{i\theta_1} & & \\ & \ddots & \\ & & e^{i\theta_N} \end{pmatrix}$$

$$\lambda_{ii} = 0, \quad \lambda_{ij} = i R_{ij} e^{i(\theta_i - \theta_j)}$$

On trouve que l'on peut toujours se ramener à $\gamma_\Sigma = 1$, et donc

$$G = SO(N)$$

$$f = -1:$$

$$\gamma_\Sigma^t = \begin{pmatrix} 0 & e^{i\theta_1} \\ e^{-i\theta_1} & 0 \end{pmatrix} \sim \begin{pmatrix} 0 & 1 \\ -1 & 0 \end{pmatrix}, \quad G = SP(N)$$

(5)''

③

2 Quantification par intégrale de chemin.

21. Rappel sur la partie ponctuelle :

On considère l'intégrale fonctionnelle

$$\int D\epsilon(\tau) DX^\mu(\tau) \exp \left[\frac{i}{2} \int dz \left(\left(\dot{X}^\mu \right)^2 - m^2 e \right) \right]$$

- * Pour donner un sens à cette intégrale, il est nécessaire de faire une "rotation de Wick", c'est-à-dire déformer la contour d'intégration :

$$\epsilon(\tau) \rightarrow e^{-i\theta} \epsilon(\tau)$$

$$X^\mu(\tau) \rightarrow e^{-i\theta} X^\mu(\tau)$$

$$iS \rightarrow \frac{i}{2} \int dz \left(\frac{1}{e} \left(-e^{-i\theta} (\dot{X}^\mu)^2 + e^{i\theta} (\dot{X}^\nu)^2 \right) - m^2 e^{-i\theta} \right)$$

la partie réelle de l'exponent, $-\sin \theta \left[\frac{(X^\mu)^2 + (X^\nu)^2}{e} + m^2 e \right]$ est positive pour $0 < \theta < \pi$, ce qui rend l'intégrale convergente.

En particulier, pour $\theta = \pi/2$, on obtient

$$\int D\epsilon(\tau) DX^\mu(\tau) \exp \left[- \int dz \left(\frac{1}{e} (\dot{X}^\mu)^2 + m^2 e \right) \right]$$

où la métrique d'espace-temps, $ds^2 = (dX^\mu)^2 + (dX^\nu)^2$ est maintenant définie positive.

- * Cette intégrale reste malgré tout infinie, en raison de l'invariance de l'action sous les difféomorphismes,

$$\delta X^\mu = \xi^\mu(\tau) X^\mu(\tau)$$

$$\delta \epsilon = \frac{d}{dt} (\xi^\mu(\tau) \epsilon(\tau))$$

On divise donc formellement l'intégrale par le volume du groupe de gauge (infini) :

$$\int \frac{D\epsilon(\tau) DX^\mu(\tau)}{V_{\text{diff}}} \exp \left[- \int dz \left(\frac{(X^\mu)^2}{e} + m^2 e \right) \right]$$

Cela n'est suffisant pour garantir $\langle \text{phys} | L_n | \text{phys} \rangle = 0$ en effet cela ne suffit pas pour garantir que à l'hermiticité de L_n .

Du coup, les états $|N\rangle \sum_{n>0} L_{-n} |X_n\rangle$ sont orthogonaux à tous les états physiques : on les appelle "états spuriens".

Comme tous les L_{-n} s'obtiennent par commutateurs de L_{-1} et L_{-2} on peut se restreindre à $|X\rangle = L_{-1} |X_1\rangle + L_{-2} |X_2\rangle$

Il se peut qu'un état soit à la fois physique et spurius : il est alors de norme nulle, et décuple des amplitudes physiques : l'existence de tels états signale une symétrie de jauge dans l'espace-cible. Ces symétries sont nombreuses lorsque $a=2$, $D=26$!

Par exemple, le premier niveau excité de la case bosonique ouverte est $|\psi\rangle = \xi^\mu \alpha_{-1}^\mu |\rho^\mu\rangle$

la condition $(L_0 - a) |\psi\rangle = 0$ donne $\xi^\mu m^2 = 1 - a$.

la condition $L_2 |\psi\rangle = 0$ donne $\rho^\mu \xi_\mu = 0$

l'état spurius $|X\rangle = L_{-2} |\rho^\mu\rangle$ est physique si

$$(L_0 - a) L_{-2} |\rho\rangle = 0 \Rightarrow (L_0 - a + 4) |\rho\rangle = 0$$

$$L_2 L_{-2} |\rho\rangle = [L_2, L_{-2}] |\rho\rangle = 2 L_0 |\rho\rangle$$

soit si $a=4$. On reconnaît l'invariance de jauge de QED :

$$\xi^\mu \sim \xi^\mu + k^\mu.$$

On montre (et on admettra) que pour $D=26$, $a=2$, l'énergie de Hilbert obtenu en imposant les contraintes $L_m | \text{phys} \rangle = 0$, $(L_0 - a) | \text{phys} \rangle = 0$ et en quotientant les états de norme nulle est défini positif ("no ghost theorem")

(10)

* Cette procédure est tout à fait générale:

Pour un difféomorphisme fixé choisi, on peut toujours trouver $e(\tau)$ à un $\hat{e}(\tau)$ arbitraire (en tout cas localement; globalement, $L = \int e(\tau) d\tau$ doit être pris en compte).

Pour déterminer la mesure d'intégration résiduelle, on utilise

$$I = \int_{\text{Diff}} D_{\hat{e}}^{\hat{g}} \left(S(e(\tau)) - \hat{S}_{\hat{e}}^{\hat{g}}(\tau) \right) J(e(\tau))$$

où $\hat{e}^g(\tau)$ est l'intégrale de la tétrade de référence $\hat{e}(\tau)$ par le difféomorphisme \hat{e} ; $J(e(\tau))$ est le Jacobien de la transformation $\hat{e} \mapsto \hat{e}^g(\tau)$,

en variant dans l'intégrale fonctionnelle, on trouve

$$\int_{\text{Diff}} \frac{D(e(\tau) \, DX^r(\tau) \, D\hat{e}(\tau))}{V_{\text{diff}}} \, J(e(\tau)) \, S(e(\tau)) \, e^{S_{\hat{e}}^g(\tau)}$$

$$\exp[-S(X^r, e)]$$

On peut maintenant intégrer sur $e(\tau)$:

$$\int_{\text{Diff}} \frac{DX^r(\tau) \, D\hat{e}(\tau)}{V_{\text{diff}}} \, J(\hat{e}^g) \, \exp[-S(X^r, \hat{e}^g)]$$

Maintenant, on utilise l'involution de DX^r , $S(X, e)$ et $J(e)$

sous les difféomorphismes, pour écrire

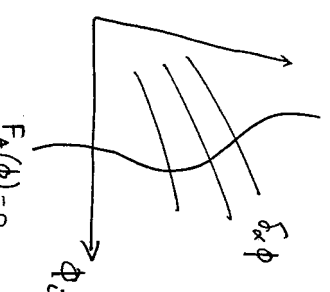
$$\int DX^r \cdot \underbrace{\int_{\text{Diff}}}_{V_{\text{diff}}} \frac{D\hat{e}}{\hat{e}} \cdot J(\hat{e}) \exp[-S(X^r, \hat{e})]$$

Finalement,

$$J(\hat{e}) = \text{Jacobien} \left(\hat{e} \mapsto \hat{e} + \frac{d}{d\tau} (\hat{e}(\tau) \hat{e}'(\tau)) \right)$$

peut se réécrire comme une intégrale sur des variables fermioniques,

$$\int DX^r \exp \left[- \int d\tau \left\{ \frac{(\hat{X}^r)^2 + m^2 \hat{e}^2}{\hat{e}} - \hat{e} \frac{db(\tau)}{d\tau} c(\tau) \right\} \right]$$



On choisit une sous-variété
 $F_A(\phi) = 0$
qui intersecte transversalement
chaque élite du groupe de jauge
1 et 1 seule fois.

Alors on peut écrire

$$\int_{V_{\text{sym}}} \frac{d\phi^i}{V_{\text{sym}}} \exp(-S_0(\phi)) = \int d\phi^i \int_{V_{\text{sym}}} \frac{d\hat{e}}{G} \, S(F^A(\hat{e})) J(\hat{e} \rightarrow F^A(\hat{e})) e^{-S_1}$$

$$= \left(\int_{V_{\text{sym}}} \frac{d\hat{e}}{G} \right) \int d\phi^i \, S(F^A(\hat{e})) \, J(\hat{e} \rightarrow F^A(\hat{e})) e^{-S_0(\hat{e})}$$

$$= \int d\phi^i \int dB_A \int db_A \int dc^\alpha \, \exp[-S_0 - S_4 - S_2]$$

$$\text{avec } S_1(\phi) = -i B_A F^A(\phi)$$

$$S_2(\phi) = b_A c^\alpha \delta_\alpha^\beta F^\beta(\phi)$$

où B_A est un champ commutant : "antifantôme"
 b_A, c^α sont des champs anti-commutants : "fantôme"

* Remarquablement, cette action admet une symétrie appelée transformation de Bocchieri - Rasetti - Shabad - Tyutin,

$$\delta_B \phi_i = -i\varepsilon c^\alpha \delta_\alpha \phi_i$$

$$\delta_B B_A = 0$$

$$\delta_B b_A = \varepsilon B_A$$

$$\delta_B c_\alpha = \frac{i}{2} \varepsilon \delta_\beta c^\alpha \delta_\gamma c^\beta c^\gamma$$

où ε est un paramètre anti-commutant : en effet

$$\delta_B S_0 = 0$$

$$\delta_B S_4 = -iB_A \cdot -i\varepsilon c^\alpha \delta_\alpha F^A$$

$$\begin{aligned} \delta_B S_2 &= \varepsilon B_A C^\alpha \delta_\alpha F^A + \frac{i}{2} b_A \varepsilon f^\alpha \delta_\beta c^\beta c^\gamma \delta_\gamma F^A \\ &\quad + b_A c^\alpha \delta_\beta \delta_\alpha F^A \cdot (-i\varepsilon) c^\beta \end{aligned}$$

Par ailleurs, on vérifie que

$$\delta_B (b_A F^A) = i\varepsilon (S_4 + S_2)$$

Par quantification, la symétrie δ_B est représentée par un opérateur ²³ δ_B , agissant sur les quantités (fermioniques) homologues Q_B , agissant par (anti)commutation sur les quantités (fermioniques)

$$\delta_B f = \{Q_B, f\}_E = Q_B f + \varepsilon f Q_B, \quad \varepsilon = \pm 1$$

Sous une variation δF^A des conditions de fixage de jauge, on voit

$$-\varepsilon \delta \langle f | i \rangle = \langle f | i\varepsilon (S_1 + S_2) | i \rangle$$

$$= \langle f | \{Q_B, b_A F^A\} | i \rangle$$

donc $\langle f | i \rangle$ sera invariant si $Q_B | i \rangle = 0$:

$$Q_B | f \rangle = 0$$

Un état $|\phi\rangle$ tel que $Q_B |\phi\rangle = 0$ est dit physique, ou "BRST fermé"

Enfin, on vérifie que Q_B est nilpotent : $Q_B^2 = 0$
 Ce implique en particulier qu'il continue à commettre avec le Hamiltonien lorsqu'on change la condition de fixage :

$$[Q_B, [Q_B, b_A \delta F^A]] = [Q_B^2, b_A \delta F^A] = 0$$

De plus, les états $|\phi\rangle = Q_B |\chi\rangle$ pour tout $|\chi\rangle$ sont automatiquement physiques, et orthogonaux à tous les états physiques (y compris eux-mêmes) : on les appelle états nuls, auparavant ou "BRST-exact".

Deux états physiques qui diffèrent par un état nul ont les mêmes produits avec tous les autres états physiques.

On définit donc l'espace des états physiques comme le quotient

$$H_{\text{phys}} = H_{\text{physique}} / H_{\text{exact}}$$

Par exemple on voit que la particule ponctuelle, dans la jauge $e^\alpha = 1$:

$$S = \int dx \left(\frac{1}{2} (\dot{\chi}^\mu)^2 + \frac{1}{2} m^2 - \overset{\circ}{b} c \right)$$

est invariant sous

$$\delta_B \overset{\circ}{b} = i\varepsilon c \overset{\circ}{\chi}^\mu$$

$$\delta_B c = i\varepsilon c c^\mu$$

et $\delta_B^2 = 0$ on-shell.

$$\text{le Hamiltonien est toujours } H = \frac{1}{2} (\dot{\phi}^2 + m^2)$$

avec $\overset{\mu}{\phi} = i \overset{\mu}{\chi}^\mu$! Δ signature euclidienne !

$$\text{De plus } Q_B = c H = \frac{c}{2} (\dot{\phi}^2 + m^2)$$

$$[\overset{\mu}{\phi}^\nu, \overset{\lambda}{\chi}^\nu] = -i\eta$$

$$\{b, c\} = 1$$

le spectre ont donc un système à 2 états

$$|\mathbf{k}, \uparrow\rangle, |\mathbf{k}, \downarrow\rangle: \quad (14)$$

$$0 \leftarrow |\mathbf{k}, \uparrow\rangle \xrightarrow{b} |\mathbf{k}, \downarrow\rangle \xleftarrow{b} 0$$

les états BRST - fermés sont

$$|\mathbf{k}, \uparrow\rangle \text{ pour } \mathbf{k} \text{ arbitraire}$$

$$|\mathbf{k}, \downarrow\rangle \text{ pour } \mathbf{k}^2 + m^2 = 0$$

les états BRST - exacts sont

$$|\mathbf{k}, \uparrow\rangle \text{ pour } \mathbf{k}^2 + m^2 \neq 0$$

les états fermés mais non exacts sont donc $|\mathbf{k}, \uparrow\rangle$ et $|\mathbf{k}, \downarrow\rangle$ avec $\mathbf{k}^2 + m^2 = 0$ dans les deux cas.

On trouve donc un doublement du spectre du boson libre.

En fait, seuls les états $|\mathbf{k}, \downarrow\rangle$ apparaissent dans les amplitudes physiques : les états $|\mathbf{k}, \uparrow\rangle$ sont exacts si $\mathbf{k}^2 + m^2 = 0$, leur amplitude devient alors proportionnelle à $\delta(\mathbf{k}^2 + m^2)$, ce qui est incompatible avec la structure analytique de la matrice S en théorie des champs.

On conclut que les états physiques sont les états BRST - fermés,

modulo les états BRST - exacts, qui n'apportent plus à la condition de Siegel

$$b|\psi\rangle = 0$$

24. la corde bosonique fermée

Comme pour la particule ponctuelle, on fait une rotation de Wick à la fois sur la surface d'univers, et dans l'espace-cible.

On divise aussi par le volume du groupe de jauge, $D\mathbf{p} \propto Wg$:

$$\mathcal{Z} = \int D\mathbf{X}^\mu(\sigma, \tau) Dg_{\alpha\beta}(\sigma, \tau) \exp \left[-\frac{1}{4\pi\alpha'} \int_M d^3\sigma \sqrt{g} g^{\alpha\beta} \partial_\alpha X^\mu \partial_\beta X_\mu \right] \quad (15)$$

On a vu que localement, l'invariance sous $D\mathbf{p} \propto Wg$ permettait de se ramener à une métrique $\hat{g}_{\alpha\beta}$ arbitraire, par exemple plate,

$$\hat{g}_{\alpha\beta} d\sigma^\alpha d\sigma^\beta = d\tau^2 + d\sigma^2 = dz d\bar{z}, \quad z = \tau + i\sigma$$

Inverson de l'identité

$$1 = J(g) \int D\mathbf{p} \exp \left[g - \hat{g}^\alpha \right]$$

où \hat{g}^α est l'image de g par la transformation de jauge \hat{g} .

Par les mêmes transformations que plus haut, et en supposant que la mesure $D\mathbf{X}^\mu Dg_{\alpha\beta}$ est bien invariante sous $D\mathbf{p} \propto Wg$, on conclut que

$$\mathcal{Z} = \int D\mathbf{X}^\mu(\sigma, \tau) Dg_{\alpha\beta} \exp \left[-\frac{1}{4\pi\alpha'} \int_M d^3\sigma \sqrt{\hat{g}} \hat{g}^{\alpha\beta} \partial_\alpha X^\mu \partial_\beta X_\mu \right]$$

Le Jacobien $J(\hat{g})$ peut-être écrit comme une contribution de fantômes de Faddeev-Popov de la manière suivante :

Au voisinage de l'identité,

$$\hat{g}_{\alpha\beta} = \nabla_\alpha \xi_\beta + \nabla_\beta \xi_\alpha + 2\Lambda g_{\alpha\beta}$$

$$= (P.\xi)_{\alpha\beta} + 2(\Lambda + \frac{1}{2} \nabla_\gamma \xi^\gamma) g_{\alpha\beta}$$

où $(P.\xi)_{\alpha\beta} = \nabla_\alpha \xi_\beta + \nabla_\beta \xi_\alpha - (\nabla_\gamma \xi^\gamma) g_{\alpha\beta}$

est un opérateur qui transforme le vecteur ξ^α en un tenseur symétrique.

On peut donc écrire, au voisinage de l'identité,

(1)

$$J(\hat{g})^{-1} = \int D\hat{g} \delta[g - \hat{g}\hat{\epsilon}]$$

$$\begin{aligned} &= \int Dg^\alpha D\lambda \delta[(\hat{P}\cdot\hat{\epsilon})^{\alpha\beta} + 2(\Lambda + \frac{1}{2}\hat{D}_\gamma\hat{\epsilon}^\gamma)\hat{g}^{\alpha\beta}] \\ &= \int Dg^\alpha D\lambda Dg^{\alpha\beta} \exp[\partial\pi_i \int d^2\bar{q} \beta^{\alpha\beta} (\hat{P}\cdot\hat{\epsilon})^{\alpha\beta} + 2(\Lambda + \frac{1}{2}\hat{D}_\gamma\hat{\epsilon}^\gamma)\hat{g}^{\alpha\beta}] \end{aligned}$$

L'intégrale sur $D\lambda$ impose $\partial g^{\alpha\beta} = 0$: il reste donc

$$J(\hat{g})^{-1} = \int Dg^\alpha Dg^{\alpha\beta} \exp[\partial\pi_i \int d^2\bar{q} \sqrt{\hat{g}} \beta^{\alpha\beta} (\hat{P}\cdot\hat{\epsilon})^{\alpha\beta}]$$

où $\beta^{\alpha\beta}$ est de trace nulle.

On obtient $J(\hat{g})$ en changeant la statostique, i.e. en remplaçant

$$\begin{aligned} \hat{\epsilon}^\alpha &\rightarrow c^\alpha \\ \beta^{\alpha\beta} &\rightarrow b^{\alpha\beta} \end{aligned}$$

où $c^\alpha, b^{\alpha\beta}$ sont des variables anticommutantes, $b^{\alpha\beta} \hat{g}^{\alpha\beta} = 0$

Après fixation du jauge, l'intégrale fonctionnelle pour la onde fermionique devient donc

$$\begin{aligned} Z &= \int Dg^\mu (\sigma, \tau) Dc^\alpha Db^{\alpha\beta} \\ &\exp \left[-\frac{1}{4\pi\alpha'} \int_M d^2\bar{q} \sqrt{\hat{g}} \hat{g}^{\alpha\beta} \partial_\alpha X^\mu \partial_\beta X_\mu \right. \\ &\quad \left. - \frac{1}{4\pi} \int_M d^2\bar{q} \sqrt{\hat{g}} (b^{\alpha\beta} \nabla^\alpha c^\beta + b^{\alpha\beta} \nabla^\beta c^\alpha) \right] \end{aligned}$$

On peut si on le souhaite revenir en signature minkowskienne; dans ce jauge conforme, on obtient l'action

$$S = \partial T \int d^2\bar{q} \partial_+ X^\mu \partial_- X_\mu + \frac{1}{\pi} \iint (b_{++} \partial_- c^+ + b_{--} \partial_+ c^-)$$

On vérifie que l'action est invariante sous la symétrie BRST

(2)

$$\bar{J}_B X^\mu = i\varepsilon (c^+ \partial_+ + c^- \partial_-) X^\mu$$

$$\bar{J}_B c^\pm = \pm i\varepsilon (c^+ \partial_+ + c^- \partial_-) c^\pm$$

$$\bar{J}_B b^{\pm\pm} = \pm i\varepsilon (T_{\pm\pm}^X + T_{\pm\pm}^{gh})$$

où $T_{\pm\pm}^{gh}$ est la contribution des fantômes (ghosts) au tenseur d'énergie impulsion:

$$T_{++}^{gh} = i(2b_{+-} \partial_+ c^+ + \partial_+ b_{+-} c^+)$$

$$T_{--}^{gh} = i(2b_{+-} \partial_- c^- + \partial_- b_{+-} c^-)$$

Ce tenseur est conservé clairement, i.e. $\partial_- T_{++}^{gh} = \partial_+ T_{--}^{gh} = 0$ puisque les eqs du mouvement donnent

$$\partial_- b_{++} = \partial_+ c^+ = \partial_+ b_{+-} = \partial_+ c^- = 0$$

la quantification canonique procède comme d'habitude:

$$c^+ = \sum \bar{c}_n e^{-in(c+\sigma)}, \quad c^- = \sum c_n e^{-in(c-\sigma)}$$

$$b_{++} = \sum \bar{b}_n e^{-in(c+\sigma)}, \quad b_{--} = \sum b_n e^{-in(c-\sigma)}$$

$$\{b_m, c_n\} = \delta_{mn}, \quad \{b, b'\} = \{c, c'\} = 0$$

les générateurs de Virasoro à l'équivalent

$$\begin{aligned} L_m^{gh} &= \sum_n (m-n) :b_{m+n} c_{-n}: \\ \bar{L}_m^{gh} &= \sum_n (m-n) :\bar{b}_{m+n} \bar{c}_{-n}: \end{aligned}$$

On vérifie par les mêmes méthodes que précédemment l'algèbre de Virasoro

$$[L_m^{gh}, L_n^{gh}] = (m-n) L_{m+n}^{gh} + \frac{1}{6} (m-13m^3) \delta_{m+n}$$

la charge centrale associée aux fantômes (b, c) est donc $c = -26$

les générations de Virasoro pour le système total $X \oplus (\mathbb{L}_{c_1})$

$$L_m = L_m^X + L_m^{gh} - a \delta_{m,0}$$

satisfait donc

$$[L_m, L_n] = (m-n) L_{m+n} + A(m) \delta_{m+n}$$

$$\text{où } A(m) = \frac{D}{12} m(m^2-1) + \frac{1}{6}(m-13m^3) + 2am$$

L'anomalie disparaît donc précisément lorsque $D=26$, $a=1$.

On montre que cette condition est aussi nécessaire et suffisante pour que $Q_B^2 = 0$, où Q_B est donné par la formule de Noether,

$$\begin{aligned} Q_B &= \int_0^{\bar{\sigma}} d\sigma \left(c T^X + \frac{1}{2} :c T^{\bar{g}_h}: \right) \\ &= \int_0^{\bar{\sigma}} d\sigma c T^X + :bc \partial c: \\ &= \sum_m c_m L_{-m} + \sum_{m,n} \frac{m-n}{2} :c_m c_n b_{-m-n}: - c_0 \end{aligned}$$

Pour la onde fermée, on construit deux opérateurs Q_B et \bar{Q}_B , l'opération BRST est $Q_B + \bar{Q}_B$.

* la quantification des fantômes se fait comme dans le cas de la particule libre : les modes zéro b_0 et c_0 vérifient

$$b_0^2 = c_0^2 = 0, \quad \{b_0, c_0\} = 1$$

Ils se représentent donc dans un espace à 2 états :

$$b_0 |\downarrow\rangle = 0, \quad b_0 |\uparrow\rangle = |\downarrow\rangle$$

$$c_0 |\downarrow\rangle = |\uparrow\rangle, \quad c_0 |\uparrow\rangle = 0$$

et on demande de plus

$$b_{n>0} |\downarrow\rangle = c_{n>0} |\uparrow\rangle = 0$$

[Vérification de l'algèbre de Virasoro :

$$\begin{aligned} \langle 0 | [L_1^{\bar{g}_h}, L_2^{\bar{g}_h}] | 0 \rangle &= \langle 0 | (L_1^{\bar{g}_h} L_2^{\bar{g}_h} - L_2^{\bar{g}_h} L_1^{\bar{g}_h}) | 0 \rangle \\ &= \langle 0 | (b_{-1} c_0 + 2 b_0 c_1) (-b_{-1} c_0 - 2 b_0 c_{-1}) | 0 \rangle \\ &= -2 \langle 0 | b_0 c_0 b_0 c_{-1} + b_0 c_1 b_{-1} c_0 | 0 \rangle \\ &= -2 \langle 0 | b_0 c_0 + c_0 b_0 | 0 \rangle \\ &= -2 \end{aligned}$$

en accord avec $\frac{1}{6} (m-13m^3) \Big|_{m=1} = -\frac{12}{6} = -2$.

On peut aussi faire le calcul sur $|\uparrow\uparrow\rangle$:

$$\begin{aligned} \langle \uparrow\uparrow | [L_1, L_2] | \uparrow\uparrow \rangle &= \langle \uparrow\uparrow | (b_{-1} c_0 + 2 b_0 c_1) (-b_{-1} c_0 - 2 b_0 c_{-1}) | \uparrow\uparrow \rangle \\ &= -2 \langle \uparrow\uparrow | b_{-1} c_0 b_0 c_{-1} | \uparrow\uparrow \rangle \\ &= -2 \langle \downarrow\downarrow | b_1 c_{-1} | \downarrow\downarrow \rangle \\ &= -2. \end{aligned}$$

$$\langle \uparrow | [L_2, L_{-2}] | \uparrow \rangle = \langle \uparrow | (2 b_{-2} c_0 + 3 b_{-1} c_1 + 4 b_0 c_2)$$

$$(-2 b_{-2} c_0 - 3 b_{-1} c_1 - 4 b_0 c_{-2}) | \uparrow \rangle$$

$$\begin{aligned} &= -8 \langle \uparrow | b_{-2} c_0 b_{-2} | \uparrow \rangle - 9 \langle \uparrow | b_1 c_1 b_{-1} c_{-1} | \uparrow \rangle \\ &= -8 - 9 = -17 \\ \text{on accorde avec } &\frac{1}{6} (m-13m^3) \Big|_{m=2} = -17 \end{aligned}$$

$$\triangle \quad \langle \uparrow | c_0 = \langle \uparrow | \quad \langle \downarrow | c_0 = 0$$

$$\langle \uparrow | b_0 = 0 \quad \langle \downarrow | b_0 = \langle \uparrow |$$

$$\text{afin que } \langle \uparrow | c_0 b_0 + b_0 c_0 | \uparrow \rangle = 1 !!]$$

(4)

Remarque:

les états physiques sont ceux qui vérifient $Q_0 |\psi\rangle = 0$, modulo les états Q_0 -exact, $|\psi\rangle \sim |\psi\rangle + Q_0 |\chi\rangle$ et tels que $b_0 |\psi\rangle = 0$ (condition de Siegel)

Nous pouvons maintenant calculer le spectre des états physiques de la onde ouverte :

$$\text{niveau } 0 : \quad Q_0 |\downarrow, p\rangle = (L_{-1}^X) c_0 |\downarrow, p\rangle = 0$$

$$\text{si } L_0^X = 1, \text{ soit } m^2 \xi^2 = -1 : \text{ tel que}$$

niveau 1 : l'état le plus général est

$$|\psi\rangle = \xi_1^\mu \alpha_{-1}^\nu + \xi_2 c_{-1} + \xi_2 b_{-1} |\downarrow, p\rangle$$

soit 28 paramètres;

$$\begin{aligned} Q_0 |\psi\rangle &= [c_0 p^2 (\xi_1 \alpha_{-1} + \xi_2 c_{-1} + \xi_2 b_{-1}) \\ &\quad + (p \xi_1) c_{-1} + \xi_2 p \alpha_{-1}] |\downarrow, p\rangle \end{aligned}$$

Il est Q_0 -futé si $p^2 = 0, p \cdot \xi_1, \xi_2 = 0$

les états Q_0 -exact sont de la forme

$$Q_0 |\chi\rangle = (p \xi_1) c_{-1} + \xi_2 p \alpha_{-1} |\downarrow, p\rangle, \quad p^2 = 0$$

ce qui montre que le terme ξ_2 et la partie de ξ_1^μ parallèle à p^μ dans $|\psi\rangle$ peuvent être absorbés par une transformation de jauge.

On trouve donc bien que l'on a affaire à un boson de jauge de masse nulle,

$$|\psi\rangle = \xi_1^\mu \alpha_{-1}^\nu |\downarrow, p\rangle, \quad p^2 = 0$$

$$\xi_1^\mu \sim \xi_1^\mu + p^\mu$$

C'est en accord avec la quantification dans la jauge du cône de lumière, où la quantification convient "à l'ancienne".

Dans notre traitement "à la Faddeev-Popov" de la onde basique, nous avons supposé que l'on pourrait toujours se ramener à la matrice plate par une transformation $\xi \in \text{diff} \times \text{Weyl}$. Cela est vrai localement mais non globalement :

* Il arrive que certains difféomorphismes puissent être réalisés par une transformation de Weyl :

$$(P \cdot \xi) \propto P = 0$$

$$\Lambda + \frac{1}{2} D_\mu \xi^\mu = 0$$

(ce sont les "vecteurs de Killing conformes", présents en genre 0 (le groupe conforme $Sp(2, \mathbb{R}) \times Sp(2, \mathbb{R})$ de la sphère) et en genre 1 (les translations du tore) uniquement ; pour éviter un double comptage, il faut diviser par le volume du groupe de symétrie).

* Il arrive aussi que certaines déformations de la métrique ne puissent être compensées par une combinaison de $\text{diff} \times \text{Weyl}$; ce sont les solutions de

$$(P^+ b)_\alpha = 0$$

où P^+ est l'opérateur hermitique-conjugué de P :

$$(P^+ b)_\alpha = -2 \nabla^\beta b_{\alpha\beta}$$

Il y a en général $6g-6$ solutions à cette équation si $g \geq 2$ (2 si $g=1, 0$ si $g=0$). Elles donnent lieu à un nombre fini de "paramètres de Taichmüller" sur lesquels on doit intégrer. (le cas du temps propre de Schwinger était un exemple de paramètre de Taichmüller pour la partie partielle)

Théorie des cordes - exercices. 3 : Quantification sur le cône de lumière

1. Théorie des champs sur le cône de lumière

- On considère l'équation de Maxwell $\partial_\mu (\partial^\mu A_\nu - \partial^\nu A_\mu) = 0$ en dim. D, dans la jauges $A_+ = 0$. Montrer qu'elle décrit $D-2$ degrés de liberté on-shell, de masse nulle, se transformant comme un vecteur de $SO(D-2)$.

- On considère l'équation d'Einsteïn linéarisé en dimension D

$$D f_{\mu\nu} + \partial_\mu \partial_\nu (g^{\rho\sigma} h_{\rho\sigma}) - \partial_\rho (\partial_\mu h_{\nu\rho} + \partial_\nu h_{\mu\rho}) = 0 \quad (*)$$

Vérifier l'invariance de jauges $\partial_\mu f_{\mu\nu} = \partial_\mu e_\nu + \partial_\nu e_\mu$

En choisissant la jauge $f_{++} = f_{+-} = f_{+i} = 0$, montrer que $(*)$ décrit $SO(D-2)/\mathbb{Z}_2$ depuis de liberté de masse nulle, se transformant comme un tenseur symétrique de trace nulle sous $SO(D-2)$

2. Montrer que les états du deuxième niveau excité ($N^+=\bar{N}^-=2$)

de la corde baroïque fermée s'organisent en représentations du "petit groupe manif" $SO(D-2)$. (On pourra traiter d'abord le cas de la corde ouverte)

3. Vérifier que les opérateurs $p^+ \alpha_m^-$ satisfont à l'algèbre de Virasoro,

$$[p^+ \alpha_m^-, p^+ \alpha_n^-] = (m-n) p^+ \alpha_{m+n}^- + \left[\frac{D-2}{2} (m^2-m) + 2am \right] \delta_{mn}$$

4. Vérifier que l'opérateur S_2 de parité sur la feuille d'univers est dans l'espace de Fock des cordes ouvertes avec conditions au bord ∂D selon

$$\Omega \alpha_k^+ \Omega^{-1} = (-1)^{|k|+1} \alpha_k^+$$

Même question pour DN et ND .

Théorie des cordes - exercices 4 : Quantification par intégrale de chemin

- 1. Appliquer brièvement la méthode de Faddeev - Popov à la quantification de la théorie de Maxwell dans la jauges de Lorentz, $\partial_\mu A^\mu = 0$

2. Déterminer les constantes de structure $f_{\tau_1 \tau_2 \tau_3}$ de l'algèbre des difféomorphismes de τ , dans la base

$$\delta_{\tau_2} f(\tau) = -\delta(\tau - \tau_2) \partial_\tau f(\tau)$$

En déduire l'action de la symétrie BRST sur les champs (X^μ, e, B, b, c) de la particule libre, dans la jauge, $F = 1-e \equiv 0$.

Vérifier que l'action $S = \int d\tau \left(\frac{1}{2e} \dot{X}^\mu \right)^2 + \frac{1}{2} e m^2 + i B(e-1) - e b c$ est invariante.

3. La métrique $ds^2 = \frac{dz d\bar{z}}{(1+z\bar{z})^2}$ décrit la sphère S_2 . Déterminer les vecteurs de Killing conformes. Montrer qu'ils engendrent le groupe $SL(2, \mathbb{R}) \times SL(2, \mathbb{R})$.

4. La métrique $ds^2 = \frac{(dx + \tau dy)(dx + \bar{\tau} dy)}{\tau} - \frac{0 \leq x \leq 1}{0 \leq y \leq 1}, \tau_{\text{fin}}, \tau_{\text{ini}} > 0$ décrit le tore $T^2(\tau)$

Montrer que si $\tau' = \frac{a\tau + b}{c\tau + d}$, $a, b, c, d \in \mathbb{Z}$ et $ad - bc = 1$

alors $T^2(\tau)$ et $T^2(\tau')$ sont équivalents par un difféomorphisme globallement bien défini. Montrer que par une transformation de ce type, on peut toujours se ramener au "domaine fondamental" $\tilde{S} = \{ |\tau| \geq 1, -\gamma_2 \leq \operatorname{Re}(\tau) \leq \gamma_2 \}$. Tracer \tilde{S} .

5. Déterminer les états physiques de masse nulle de la corde fermée dans le formalisme BRST. Discuter leurs invariances de jauges.

b. Montrer que $\Omega^2 = \frac{1}{2} \sum_{m,n}^{\text{tot}} \left([L_m, L_n] - (m-n) L_{mn} \right) C_m C_n$.